# PEO 型精密超声声速仪

吴贵玉 陆玲珍 钟德元 张国柱 (中国科学技术大学) 1982年8月23日收到

本文介绍用脉冲回波重合法<sup>[1]</sup>精密测量超声声速的仪器。超声脉冲发射、接收、以及显示部分组装成整机,使操作方便,性能稳定可靠。 主控信号使用特制的步进为 0.1Hz、频率稳定度 为 10<sup>-9</sup>/s 的 PZS-1 型频率综合仪,更提高了测量精度.

一、前 言

利用超声脉冲回波技术来测量固体或液体材料中超声波传播时间(或声速),已成为一种最常用的方法,其中脉冲回波叠加法和脉冲回波重合法,已成为实验室中测量材料的声速和弹性常数的标准方法[2-5]。这些方法的特点是,有较高的测量精度,测量精度可达 1/100f<sup>63</sup>,其中 f 为超声频率,例如用 20MHz 的超声波进行测量时,精度可达 0.5 ns,若测量传播时间为 10 μs 时误差小于 5×10<sup>-5</sup>。 所以能够测出材料由于受外界各种因素引起的声速微小变化量(例如高温、低温、高压、电磁场等……)。

## 二、测量原理及方法

图 1 是仪器方框图,图 2 是工作过程主要

波形图,其工作原理简述如下。

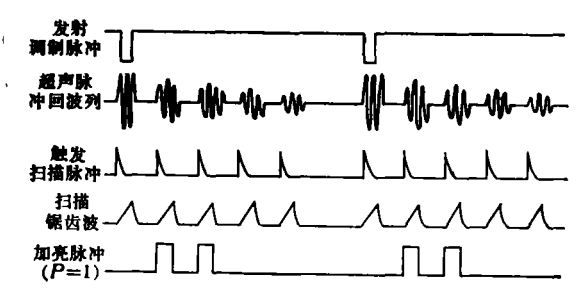


图 2 工作过程主要波形图

频率综合仪的输出信号加到分频器输入端,经分频器分频后,通过延迟触发电路去触发射频脉冲发生器,产生幅度为80V左右的射频脉冲,此脉冲加到压电换能器上。工作频率为5、10、15、20或30MHz的换能器产生的超声脉冲送人到试样,其回波仍由该换能器接收,经前置放大器和Y主放大器放大后,在示波管上显示出一个脉冲回波列。分频器的输出还经由另一延迟电路接至加亮电路,产生一对宽度相

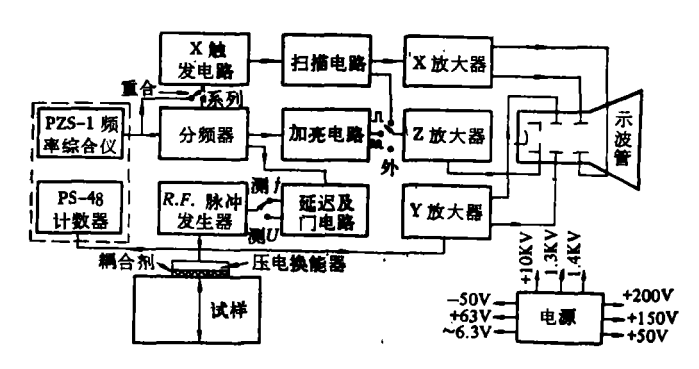


图 1 仪器方框图

应用声学

45

同、间距可变的矩形脉冲,经 Z 放大器放大后,加到示波管的栅极,使所需的一对回波加亮而显现,其它回波则消隐,调节加亮的延迟时间和加亮间距,可选择不同的脉冲对。

测量时,先使示波管工作在内触发和正常加亮状态,此时示波管上应显示一列按指数衰减的脉冲回波列,然后,使加亮状态转到选择加亮,调节加亮延迟、间距和宽度,使所需一对脉冲得到加亮。再将 x 触发状态转为外触发,调节频率综合仪的输出频率,使主控信号的周期等于一对回波的间距,在示波管上观察到所选回波对的重合(见图 3)。此时,频率综合仪上

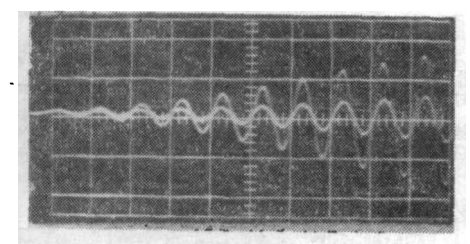


图 3 所选回波对的重合波形。

显示的频率就是所需的测量数据。调节发射延迟,可使波形移至屏幕中央。为提高测量精度,可多测几组数据求其平均值。 若增加 f 至 mf (m = 1, 2, 3······) 此时仍可实现重合。

分频器采用 10 块 D型触发器组成 2<sup>10</sup> = 1024 分频器,经由转换开关可选取 1/2, 1/4, 1/8, 1/16······1/1024 分频输出,可以配合不同衰减或不同厚度的试样。 适当选取分频比,使试样中不会由于存在二个以上脉冲列而产生叠加,又尽可能增加显示波形的亮度。延迟触发器和加亮电路采用集成电路,最后输出一对双脉冲,加至 Z 放大器, Z 放大器还可选用 X 轴送来的加亮脉冲,使扫线正常加亮,或选用外加亮输入信号,作时标用。

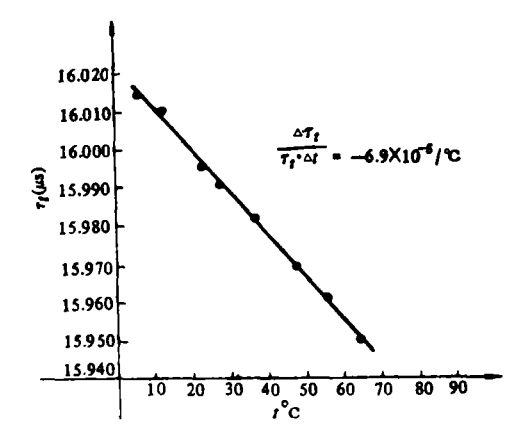
射频脉冲发生器由闸流管和 LC 延迟网络组成窄脉冲发生器,和双三极管推挽式振荡电路组成。 脉冲发生器产生宽度约 2 μs、幅度约100V 的脉冲,驱动双三极管振荡电路,产生所需频率的射频脉冲,调节可变电容可使振荡频率与所用换能器相配。此外射频脉冲发生器电路中附有射频频率测试电路,由转换开关控制,

供精确测量发射频率。当需测频率时,它可使射频脉冲发生器工作在连续振荡状态,输出射频正弦讯号,由 PS-48 计数器精确测量发射频率。

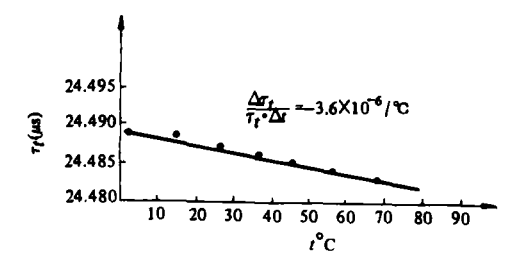
为提高测量精度,研制了与 PEO 型声速仪 配套的 PZS-1 型频率综合仪。本仪器中 X 触发电路、扫描电路, X 放大器, Y 放大器、 Z 放大器均为一般示波器中常用电路, 其工作原理从略。

### 三、测试实例和误差分析

在该仪器上对石英晶体(1.995 × 2.499 × 3.011cm³) 的三个轴向进行了超声纵波传播时间 r 的测量,并计算出相应的声速,测量数据列入表一中。 测量时采用直径为 10mm、谐振频率为 20.4343MHz 的石英片作换能器,换能器



(a) BL-2 的横波声时与温度关系,



(b) E-01 的**横波声时与温度关系**。 图 4 E-01 的声时与温度关系

与试样间用硅油耦合(纵波)。对 E-01 等延迟 玻璃和 BL-2 熔石英的声时温度系数进行了测试,测试结果如图 4 所示。

表 1 超声纵波沿石英晶体各晶轴的传播时间

晶轴	X	Y	Z
传播时间 τ(μs)	6.89304	8.27278	9.48572
标作偏差 σ(με)	土0.00013	士0.00017	士0.00045
耦合层修正后 τ <sub>ν</sub> (μs)	6.89279	8.27251	9.48568
样品长度 l(cm)	1.995	2.499	3.011

实际测量到的两个回波之间的真实时间间 隔 r 可表达如下<sup>[3]</sup>

$$\tau = p\delta - p\gamma/360Xf + n/f$$

式中  $\delta$  为回波脉冲传播一周的真实时间,  $\rho$  为回波脉冲传播次数,即回波序数,  $\gamma$  为回波在试样、耦合层、换能器界面反射产生的相角, n 为整数、可正、可负 n=0 表示正确重合, f 为射频频率。

下面对测量误差进行分析,

1. 测试过程中因判断重合错误产生的误差: 正确重合时 n = 0,若判断错误,将引入的误差为 n/f。 避免此误差,可在换能器共振频率  $f_R$  和 0, $9f_R$  上各进行一次测量,再根据文献 [3]中叙述的方法判断正确的重合。

2. 耦合层引起的误差:由于耦合层具有一定的厚度,当超声波在试样、耦合层、换能器界面反射一次所引起的相位变化为r,相应的时间延迟为 $r/360 \times f_R$ ,此值应从实测数据中减

去。(见表 1)

### 四、结论

本仪器将脉冲回波重合法测声速的所需部份设备组装成整机,并用高稳定度的频率综合仪作主控信号,消除了主控信号本身漂移所产生的测量误差,提高了读数精度和分辨微小变化的能力,在测材料声速随温度或压力有微小变化时具有优越性。

测量时所用的石英晶体由上海**硅酸盐所红** 星厂生产加工,E-01 样品由上海新沪玻璃厂生 产,BL-2 熔石英由北京 605 厂生产

#### 参考文献

- [1] E. P. Papadakis, Rev. Sci. Inst., 47 (1976), 806.
- [2] J. Willams and J. Lamb, J. A. S. A. 38 (1958), 308-313
- [3] H. J. McSkimin, J. A. S. A., 33 (1961), 12— 16.
- [4] J E. May, Ir, IRE. Nat, Conv. Rec. 6 Pt2, 1958, 134.
- [5] E. P. Papadakis, J. Appl. Phys. 35 (1964), 1474—1482.
- [6] E. P. Papadakis, J. A. S. A. 52 (1972), 848—846.

## 第一届西太平洋地区声学会议论文简介

第一届西太平洋地区声学会议于1982年9月 1—3日在新加坡举行,在大会宣读的论文共48篇,并 出版了论文集,其中声学测量10篇:包括吸声、隔声、 噪声和音质的测试方法。有三篇论文集中介绍声强测 试技术,利用这种方法可以在多个噪声源的场所,确 定某一噪声源所辐射的功率,以及在实验室或现场作 隔声测量。有一篇论文是论述在室内采用恒定声功率 源测量声压级的分布,利用这种测量方法,比较容易判 断各个厅堂的响度特性,通过理论计算还的粗略估 厅堂的扩散程度。建筑声学11篇:音质的文章侧 讨论舞台反射罩的设置、大厅的可调混响装置、模型试 验与实物对比和多功能厅堂的音质要求等。隔声方面 介绍了两种中频隔声达70dB以上的构造实例。声学

实验室方面文章介绍了尺寸为9.5×8×7m和5.4×3.8×4.6m 两个消声室的设计和建成后实测情况。厅堂扩声文章主要讨论扬声器的布置方式对声象的影响,以及用100个小型电容传声器组成2m 长线列传声器的应用情况。噪声控制27篇: 有几篇文章专门讨论障板对噪声衰减的计算方法。有两篇文章介绍利用模型试验研究室外噪声的传播特性,通过试验可对交通噪声分布情况进行预测。还有一些文章是介绍噪声允许标准的制定,以及噪声对听觉和人们身体健康的影响等。

下一届会议计划 1985 年在日本举行。

(叶恒健)

应用声学

· 47 ·